

玻 璃 译 丛

第 四 輯

上海市硅酸盐学会編

上海 市 科 学 技 术 編 译 館

TQ17
6/4

《玻璃譯丛》简介

为了满足广大科技人員的要求,从1963年10月起,由上海市硅酸盐学会(主编)和上海市科学技术編譯館(編輯出版)創办了《玻璃譯丛》,在全国各地新华书店公开发行。

本譯丛是以当前国内生产建設的需要为主,并适当考慮长远的和新技术的需要,将国外期刊、文献、专利等方面所介紹的有关科学和技术成果和經驗,通过全譯、編譯等形式加以編輯出版,为生产单位的工程技术人员、科学研究员、高等院校有关专业的师生及其他人員提供参考資料。

《玻璃譯丛》是综合性刊物,內容包括:玻璃的基础理論和工艺理論,玻璃的物理化学性质及測試方法,玻璃工艺生产技术和控制檢驗方法,玻璃的池窑结构和机械設備,以及搪瓷生产工艺技术等。

《玻璃譯丛》是不定期刊物,約三个月出版一輯,每輯定价約0.55元。各地讀者可向当地新华书店购买或預訂(出版日期及內容簡介請注意《科技新書目》的預告)。如有困难,亦可直接向上海市科学技术編譯館(地址:上海市南昌路59号;銀行帳號:卢湾区办淮二分理处5134121)洽购。

欢迎广大讀者对本譯丛的选題、編譯、出版、发行等各方面提出宝贵的意見或要求(來信請寄上海市科学技术編譯館第三編譯室)。

上海市硅酸盐学会
上海市科学技术編譯館

玻 璃 譯 丛

第四輯

上海市硅酸盐学会編

*

上海市科学技术編譯館出版
(上海南昌路59号)

新华书店上海发行所发行 各地新华书店經售

商务印书館上海厂印刷

*

开本787×1092 1/16 印張4 字数130,000
1964年9月第1版 1964年9月第1次印刷
印数 1—5,000

編 号: 66·232
定 价: 0.55元

目 录

形成玻璃-結晶結構初級阶段的若干規律	1
侵蝕剂对硅酸盐玻璃侵蝕反应的机理.....	6
气体对玻璃的反应	12
掌握 30-4 电真空玻璃在池窑中的熔制	15
二氧化鈮用作玻璃的澄清剂和脱色剂	18
耐热橘黃色滤光玻璃	22
几种捷克斯洛伐克仪器玻璃的成分与性能	24
玻璃熔窑结构的改革	30
換热式玻璃池窑	32
林希-44 型制瓶机的结构和工作原理	35
制造薄壁空心玻璃制品的 UM8S 自动成型机	40
向坩埚式玻璃熔窑加料的新设备	44
石英玻璃中痕量杂质的测定	45
影响鉻玻瓈顏色的因素	51
文摘	56
国外技术动态	64

形成玻璃—結晶結構初級阶段的若干規律*

И. И. Китайгородский, Э. М. Рабинович, В. И. Шелюбский

本文研討若干有关微晶玻璃形成机理的實驗与理論数据，并試圖从在加入物上結晶的一般理論来进行闡述。

如所周知，作为制造微晶玻璃的晶核剂，应用以下不同物质：

(1) 較易溶于硅酸盐玻璃的氧化物(TiO_2 , ZrO_2)，过渡金属离子(Cr^{3+} , V^{5+} , Ni^{2+} 等)；

(2) 少量引入玻璃內能形成 $80\sim100$ 埃胶态晶粒的贵金属和銅；

(3) 在硅酸盐玻璃中有限溶解的氧化物，后者的引入可在玻璃冷却时以初晶相析出，或在热处理时以次晶相析出。

介稳分层——含鉻玻璃 微晶化的初級阶段

在含鉻玻璃中，晶核的形成可能与晶化前的分层有关。图1是两种具有介稳分液作用状态图的类型。第一种类型(图1a)具有稳定的分层区。凡熔体組成(如点1)位于这个区域，在冷却时便会自发地分为两种玻璃相。如果組成在稳定分液区附近(如点2)，熔体在快速冷却时不分层，但在低于 T'' 温度进行二次热处理时，便会落到分液区，这是由于在降低温度时分液区介稳地扩展的缘故。 $CaO-TiO_2-SiO_2$ 系可以作为上述系統的例子。

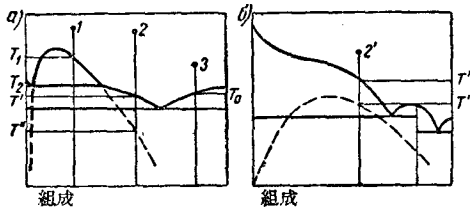


图1 两种具有介稳分液作用的状态图
(虚綫表示介稳分层范围)

第二种类型状态图則不具有稳定的分层区，但

液相綫具有S形，而且存在較接近水平的部分(图1b)，这証明有分层的傾向。在这样的系統中，可能存在完全位于液相綫下的分液层。 $BaO-SiO_2$ 系就是这样的例子。

分层現象在很多存在两个或两个以上具有高电荷(z)与离子半徑(r)小的阳离子的熔体中可以觀察到。場强(z/r^2)大的阳离子(如 Si^{4+})强烈地极化四周氧离子，建立了可靠的屏蔽，从而阻碍了其他阳离子的屏蔽。大的阳离子(如 Cs^+ , Rb^+ , K^+)以高的配位数来保証屏蔽。此外，由于这些阳离子的电荷較小，从而也降低了屏蔽的要求。因而，除含硅以外的其他只含有弱的碱金属离子的熔体的結構是比较均匀的。如果第二个阳离子具有大的場强，那么为了屏蔽两种阳离子，必須使整个結構改組。这样，在熔体中大致形成了两种原子团。在每一种原子团内部主要集合了一种强阳离子，从而形成了出現介稳(Li^+ , Ba^{2+})或稳定(Mg^{2+} , Ca^{2+} , Zn^{2+} , Sr^{2+} , Ti^{4+} , Zr^{4+})分层区域的先决条件。这些原子团的化学組成与結構同第二个液相的晶核相似。一系列的研究

* 玻璃态向晶态轉化(即析晶)过程的研究是玻璃科学中的重大課題之一。很早以来就知道玻璃的析晶過程分为两个相互联系的过程：即晶核的形成与晶体的长大。但是由于缺乏强有力的研究工具，一系列的問題尚未进行过深入的探索。自从发现微晶玻璃以来(在苏联文献中一般广义地称为玻璃—結晶材料)，上述問題的現實性更为迫切，因为只有系統掌握微晶化的規律，才能广泛地制造出各种类型的、具有不同系統的需要性能的微晶玻璃。本文比較深入地綜述了微晶化(或称为玻璃—結晶結構的形成)的初級阶段的机理与条件。主要圍繞两种类型的微晶化过程：1. 以金属胶粒誘导析晶(或称催化析晶)； 2. 通过分液作用形成粒滴而析晶(如含鉻玻璃)。根据第一种类型的微晶化，初級阶段时胶态金属颗粒与沉析在它上面的硅酸盐的临界晶体，按大小來比較，具有相似的数量級，二者之間应存在一定的結晶学相似性，晶格常数变值不能超过 $10\sim15\%$ 。根据第二种类型的微晶化(主要是指含鉻玻璃)，应当存在由分液作用产生的滴状颗粒，后者一般比沉析出的硅酸盐的临界晶体要大一个数量級左右，而結晶学相似性并不成为必要的条件。——譯者注

工作都表明，甚至在高于开始分层温度时，存在着熔体的超微不均匀结构。

介稳分液现象与上述具有分层倾向的玻璃的特征结构及冷却时产生的过程的动力学有关。形成结晶相或第二液相晶核时，系统自由能 ΔA 的变化为转化成新相时分子（离子）化学位的变化与新表面形成成功之和，即：

$$\Delta A = (\mu_i - \mu_1)nV + F\sigma \quad (1)$$

式中， $i=2$ 或 3 ；

μ_1, μ_2, μ_3 ——相应于（未分层的）液体、新液相与结晶相中形成相的分子（离子）的分子化学位；

n ——形成相单位体积中的分子数；

V 与 F ——相应于新相晶核的体积与表面积；

σ ——晶核与介质界面上的表面能。

当 $\mu_i < \mu_1$ （温度低于液相线温度或分层开始的温度）时，由于（1）式中的第二项的影响， ΔA 与晶核大小关系曲线可达最高值。这个最高值相应于产生相的临界晶核的形成功 A_k （所谓临界晶核就是稳定性最小的晶核，后者通过起伏而形成，然后随着自由能减小而生长）。当形成相颗粒尺寸超过临界晶核尺寸一个数量级或者更多些时，式（1）中的第二项的绝对值就要比第一项的绝对值小得多。在这种情况下，整个系统的自由能 A 与温度的关系将与离子化学位关系相似。图 1 所示的四种组成的化学位与温度的关系示于图 2。

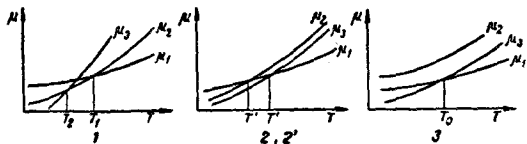


图 2 相应于组成 1, 2, 2', 3（见图 1）时
离子化学位 μ 与温度的关系示意图

μ_1 —在尚未分层的液体中； μ_2 —在第二液相中；
 μ_3 —在结晶相中（温度的符号与图 1 同）

由图 2 可见，在介稳分液区内（组成 2 与 2' 低于温度 T'' 时）， $\mu_1 > \mu_2 > \mu_3$ （或 $A_1 > A_2 > A_3$ ）。换言之，从整体上看，析晶比分层在能量上是有利的。介稳分层，作为一个先于析晶的过程，是由于两个动力因素——决定系统内离子交换速度的活化能 U 与新相临界晶核的形成功 A ——的作用结果而产生的。这些因素与新相晶核形成速度 I 有关，可用下式表示：

$$I = K e^{-\frac{U}{RT}} e^{-\frac{A_k}{\beta T}} \quad (2)$$

式中， T ——绝对温度；

R ——通用气体常数；

β ——波尔茨曼常数；

K ——常数。

在具有微不均匀结果的玻璃中，为了产生结晶相的晶核，原子团间需要强烈的离子交换（这些原子团是由两种强的阳离子形成的）。另一方面，为使在这样的玻璃内产生第二液相的晶核，需要在每种原子团内进行不大的改组。后者可在 $\mu_1 > \mu_2$ 的条件下实现。由此，在这种类型的熔体中，分层过程的活化能 U_{12} 可以比析晶过程的活化能 U_{13} 小得多。

组成位于介稳分液区而未分层的玻璃的微不均匀结构，可能会导致二液体界面的表面能比晶-液界面的小。因而，临界晶核的形成在分层时可能比析晶时小，这是由于：虽然 $(\mu_1 - \mu_2) < (\mu_1 - \mu_3)$ ，但在式（1）中，第二项的值有所减小的结果。

由式（2）可见， U 与 A_k 值的下降，使新相晶核形成速度显著加快，因此，对 $\mu_1 > \mu_2 > \mu_3$ 的玻璃而言，分层过程成为玻璃中的初次相变。当 $\mu_2 > \mu_1$ 时，分层现象则变得不可能（譬如在温度高于 T'' 时的组成 2 与 2' 以及在一切温度下的组成 3，见图 1 与 2）。

在介稳分层后析晶时，经常形成介稳晶相，而且所形成相的数目不与相律符合。这种现象可以解释为：相律仅探讨平衡过程，而不注意动力学过程。因为介稳分层现象本身是由于系统个别原子团间物质交换速度较小而产生的，因而可以假定：在很多情况下，两个玻璃相间的扩散速度较每个玻璃相的析晶速度为小。

假定在这种情况下忽略扩散，那么每个玻璃相可以大致地看作为孤立系统，因而可能的相数就要加倍。不言而喻，析出的晶相组成将符合于根据状态图对每个玻璃相分别进行平衡析晶时应当析出的晶相。然而，假如在较高温度时有足够长的持温时间，由于再结晶，介稳相就可以为稳定相所取代。

在一系列的情况下，可以观察到介稳分层过程与析晶过程分别地进行。图 3 是一种含钛玻璃试样的电子显微镜照相。在 700 、 750 或 800° （图 3a, b, c）处理一小时后的试样照片上可以看到相当多的第二相颗粒。甚至在同样温度持温两小时后，试样的外形及其密度（在四位有效数字内）都没有变化。

在上述温度下先持温 2 小时，然后在 1000° 持温 1 小时，试样都丧失了透明性。从图 3d, e 可以看出，在 700 与 800° 预先持温的试样中，第二相颗粒連結成了约 3000 埃大小的滴状颗粒。虽然（根据电

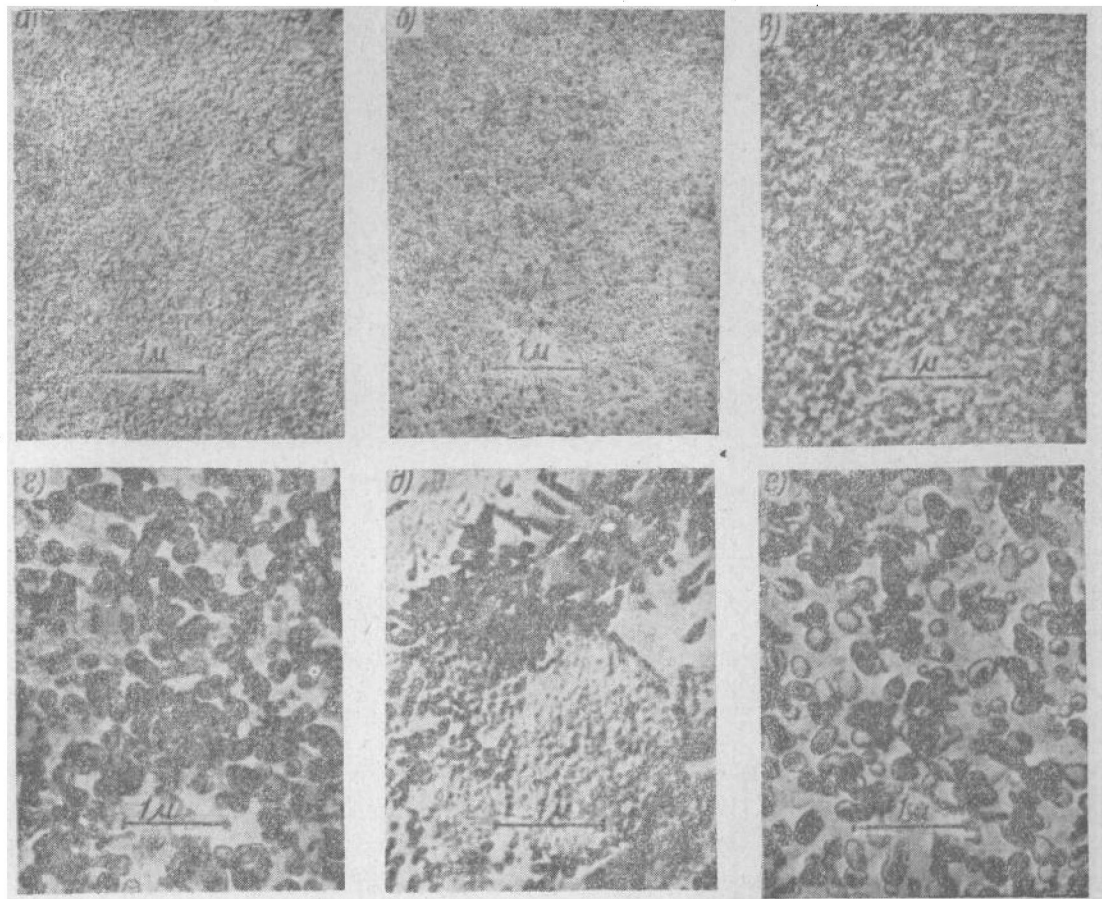


图3 含钛玻璃试样的电子显微照相

a—在700°处理1小时；b—在750°处理1小时；c—在800°处理1小时(将试样先在
700°, d—750°, e—800°处理2小时, 然后均在1000°再处理1小时)

子显微镜照相)第二相的数量可达百分之几十,但在試样的X射线相上并未发现結晶相的衍射线条,而它們的密度变化,同該組成最高变化值相比,可达4%。这种变化不仅可以归因于析晶,也可能由分层現象所致。当然,这些試样中的滴状顆粒实际上尚未开始析晶。在750°預處理的試样中(图3, d)可以看到树枝状的晶体构造和具有1000~2000埃的長方形晶体。看来,正是在这些顆粒——也包括分液相的表面——上开始玻璃基本部分的析晶。在此試样中的結晶相可用X-射线相加以确定。根据密度的变化,估計結晶相可达70%。

以玻璃中的金属胶粒作为 硅酸盐的结晶中心

金属附加物 Cu, Ag, Au, Pt, Rh, Pd 对析晶

影响的机理与以上所述不同。这些晶核剂的特点是:它們在硅酸盐玻璃中极易还原(即从离子态轉到不带电荷的状态),在玻璃中的溶解度极小。因此,它們的引入量一般极少。这实际上并不影响玻璃組成在状态图上的位置和玻璃析晶前的性质(若干光学性质除外)。根据X-射线相可以确定,在銅或金着色的玻璃中存在着金属态銅或金,它們的晶格常数与块状金属的无差别。

胶体状金属晶粒的誘导影响在于,金属晶格与析出的硅酸盐相晶格具有結晶学上的相似性。这种相似性的准则可以归纳为两种物质的晶格线性常数或倍数的差在10~15%幅度内变化,或者是晶角相似。

应当指出,属于何种晶系在这儿并无实际意义。具有晶軸 a 与 $1,3a$ 的等軸离子晶体并不同晶,而具有接近于 $2a$, $a/2$ 与 $1.5a$ 晶軸与近似 90° 晶角的三斜晶体則符合于三維均为晶軸 a 的等軸晶体。

以 α -方石英晶体(等轴面心晶体, $a=7.16$ 埃, 见图4,a)在铜晶体(等轴面心, $a_0=3.61$ 埃, $2a_0 \approx a$)上的形成为例。由于在铜晶体的晶面上没有固定于晶格结点中的电荷, α -方石英(001)晶面的氧离子的分布借助于色散力而进行。后者使离子分布到由四个紧密接触的铜原子所形成的空穴中去。根据晶胞的大小, 可以看到, 空穴每隔一个为氧离子所占据(图4,b)。同时, α -方石英的晶格沿每个轴向增长了0.8% ($\frac{2a_0-a}{a} \times 100\%$)。在图4b上, 晶格的变形没有画出。

O^{2-} 的离子半径(1.32埃)实际上与铜的原子半径(1.35埃)相符合。当然, 不仅两种晶体的晶格大小相互接近, 而且 α -方石英晶体中氧离子面网(001)的构形也与铜的晶面相似。这种情况更加促使定向晶化, 同时使铜-方石英介面上的表面能大大下降。铜对组成点位于方石英初晶区的玻璃析晶的诱导影响已用实验方法加以证实。

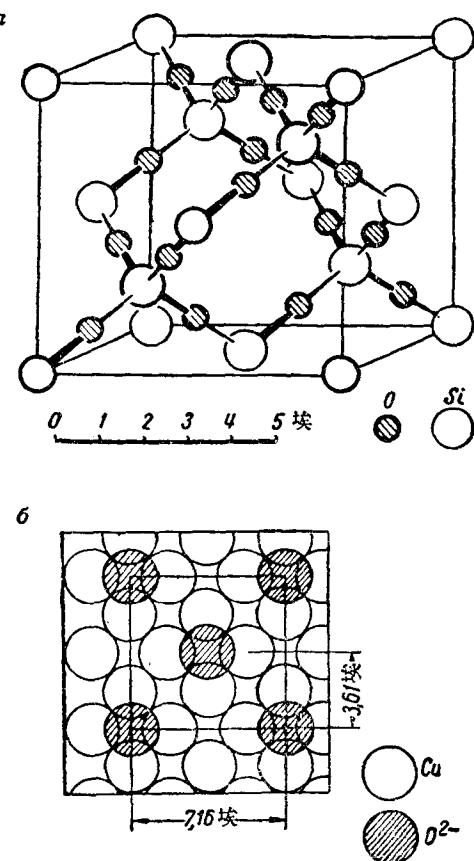


图 4
a— α -方石英晶胞的示意图; b—在立方晶体铜的(001)晶面上形成 α -方石英(001)晶面的示意图

铂胶粒对组成接近于 $NaPO_3$ 的磷酸盐玻璃与锂硅酸盐玻璃析晶的影响,看来,同样可以用铂与磷酸盐($NaPO_3$ 与 $Na_4P_2O_7$)或 $Li_2O \cdot 2SiO_2$ 间的结晶学相似性,而不是微分层现象,来解释。在磷酸盐系统中的 $Na_2O \cdot P_2O_5$ 系中,玻璃的组成接近于 $NaPO_3$ 时具有正常的液相线这一事实更加说明了上述假设的正确性。在这种情况下, $\mu_2 > \mu$, 因而, 在铂的影响下, 熔体分层的可能性就较小, 因为引入胶粒改变过程的动力学仅由于(1)式中第二项数值或活化能 U 减小才形成的。然而, 在文献中还没有找到能证实铂粒上析晶的结晶学机理的 $NaPO_3$ 与 $Na_4P_2O_7$ 晶格常数。

在铂存在的条件下, 组成为 $Li_2O \cdot 4SiO_2$ 的玻璃中的二硅酸锂(菱形, $a=5.80$ 埃, $b=14.66$ 埃, $c=4.81$ 埃)析晶作用的强化应归因于 $Li_2O \cdot 2SiO_2$ 晶面(002)与铂($a_0=3.91$ 埃)的晶面(011)间的结晶学相似性。在这种情况下, 二硅酸盐的(002)面应该沿 a 轴压缩4.5% 而沿 b 轴伸长13.5%。当二硅酸锂的(002)面附着在晶体铂的(011)面上时, 沿 b 轴的伸长减小至7%, 因此, 这样的定向可能性较大。

当 $\mu_1 > \mu_2 > \mu_3$ 时, 胶粒作为相变的中心, 能促进介稳微分层作用, 然而, 即使金属与硅酸盐初晶相的晶格具有不大的相似性时, 由于晶核形成成功的强烈减少, 过程应该趋向于能量较有利的结晶的方面。图5是组成相当于榍石-钙斜长石-硅灰石三元系低熔点的玻璃试样的电子显微照相。在一种玻璃中不加入银, 另一种中加入0.6% 银(在此, 还在两种玻璃的配合料中加入0.5% 金属锡)。

于梯温炉中, 在温度达到恒定前加热2小时, 然后持温2小时。在这样的条件下, 不加入银的玻璃, 在880~900° 出现乳浊现象, 形成了明显的滴状颗粒(这说明玻璃中最初的相变大概是介稳分层现象), 然后滴状颗粒开始析晶(根据X-射线相, 在试样中发现榍石、钙斜长石与硅灰石, 因而这是与系统的状态图相符合的。当从熔体中直接析晶时, 上述晶相一般呈片状析出)。

当引入银时, 玻璃在较低温度(750~780°)开始混浊。这并非由分液作用, 而是由析晶作用所引起的。上述现象可由形成不同大小的、具有棱面的颗粒得到证明(图5,b)。用X-射线对结构进行分析, 可以发现, 在试样中只存在硅灰石 $\beta-CaSiO_3$ (三斜晶系, $a=7.88$ 埃, $b=7.27$ 埃, $c=7.03$ 埃, $\alpha=90^\circ$, $\beta=95^\circ 16'$, $\gamma=103^\circ 25'$)。当银($a_0=4.07$ 埃)的(001)晶面上长上硅灰石(001)晶面时, 后者在一个轴向伸

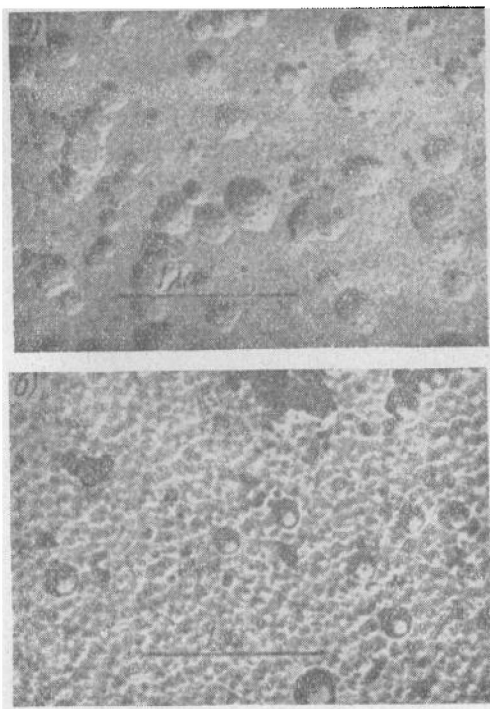


图 5 組成相應于榍石-鈣斜長石-硅
石灰三元系低熔點的玻璃試樣的
電子顯微照相

a—不加銀的玻璃試樣,熱處理條件:在 900° 前加熱時間——2 小時,于上述溫度下持溫時間——2 小時; b—加入 0.6% 銀的試樣,熱處理條件:在 780° 前加熱時間——2 小時,于上述溫度下持溫時間——2 小時

長 $3.6\% \left(\frac{2a_0 - a}{a} \cdot 100\% \right)$,而在另一個軸向上則伸長 $12\% \left(\frac{2a_0 - b}{b} \cdot 100\% \right)$ 。

氟化物對玻璃析晶的影響同樣地可以歸因於它們的晶格同鈉長石、鈣斜長石、雲母的晶格的相似性。

促進矽酸鹽玻璃析晶的金屬膠粒的大小要比在鈦玻璃中的結晶中心小一個數量級。在鋰鋁矽酸鹽感光玻璃中,引起偏矽酸鋰析晶的金粒具有 80 埃(約 10000 原子),而金的臨界微晶粒,可以是由 3~4 個原子構成的。80 埃大致相當於 Li_2SiO_3 臨界晶核大小的數量級。

玻璃的微晶化——在附加 物上析晶的特殊情況

為什麼金屬對玻璃析晶的誘導影響一般僅在具

有結晶學相似性時才會產生,而含鈦玻璃則只需要較發展的界面,甚至可在非晶體的顆粒上進行析晶?下面將從在附加物上析晶的一般理論來討論這個問題。

當某物質在另一物質上結晶時,會降低臨界晶核的形成功,會影響形成晶體對於晶座^{*}的定向作用,從而使結晶與晶座界面間的表面能具有最低值。當晶體以它同晶座表面結構相似的一面生長在晶座上時就會產生這種現象。

在晶體形成時以一定的晶面沉析在晶座上的情況下,最常見的是一級定向,但不存在它們相互間的定向作用。如果形成的晶體以一定的晶面並按嚴格規定的方向沉析在晶座上時,結晶學相似性應當屬於較少見的二級定向。

在晶座上析晶時,晶核的平衡形式是可以改變的。假如在晶座面上的立方晶核轉變成具有高為 h 與正面的邊長為 $2l$ 的平行六面體晶核,那麼平衡形式應為:

$$\frac{h}{l} = \frac{\sigma_{23} - \sigma_{13}}{\sigma_{12}} + 1 \quad (3)$$

式中,指數 1, 2, 3 分別為介穩相,形成的晶核與晶座。

在平面晶座上,臨界晶核的形成功 A'_k 可用下式表示:

$$A'_k = A_k \frac{h}{2l} = A_k \left(\frac{\sigma_{23} - \sigma_{13}}{2\sigma_{12}} + \frac{1}{2} \right) \quad (4)$$

式中, A_k — 在均勻相中臨界立方晶核的形成功。

由此看來,當結構相似性增加時($\sigma_{12} \rightarrow \sigma_{13}$, $\sigma_{23} \rightarrow 0$),晶核的平衡形式趨於二維形式($\frac{h}{2l} \rightarrow 0$),而它的形成功則趨於 0。在任何情況下,在平面晶座上晶核的形成功都要比在均相內為小($\frac{h}{2l} < 1$)。

如果晶座顆粒曲率的半徑(當然也包括 r 的大小)至少比生成晶體的臨界大小 r_k 超過一個數量級,那麼,顯然可以將晶座顆粒表面當作平面。在曲面上形成晶核的情況下,則還應估計到形成晶核的彎曲能 E_u ;當彎曲程度較大時, $A'_k + E_u$ 的數值可能超過 A_k 值,因而在均相內析晶就比較有利。

當 r 接近 r_k 時,形成晶核的構形愈接近於晶座的構形,則 E_u 值就愈小。此外,在晶核與晶座界面上的表面能 σ_{23} 愈小,那麼(4)式中的 A'_k 值也將愈小。

(下轉第 11 頁)

* 原文為 Подложка, 意指矽酸鹽晶體所附着的介質顆粒,暫譯“晶座”。——譯者注

侵蝕劑對矽酸鹽玻璃侵蝕反應的機理

第 I 部分 亲電與親核侵蝕反應的機理

S. M. Budd

从所發表的許多有關玻璃化學性質的論著中可以看出，作者大多以玻璃被侵蝕的深度作為理論探討和試驗條件的基礎。一般認為，玻璃的侵蝕可以分為兩個階段。在酸性及中性溶液中，侵蝕是以侵蝕劑與玻璃之間的離子交換為代表性的反應。道格拉斯與埃沙德(Douglas & Isard)^[1]曾經指出，對鈉鈣矽玻璃而言，這種侵蝕的速率取決於玻璃中鈉離子的擴散速率^(註 1)。另一類侵蝕反應(主要發生在鹼性溶液中)的特點是玻璃網絡結構的解聚。舒馬歇與希韦特(Sehumaecher & Schweite)^[2]曾經指出，從這種侵蝕總結果中可以看出，在單位時間內，侵蝕速率是一個恆值。

本文將闡述玻璃被侵蝕過程中化學反應的機理。這裡所依據的化學反應，對玻璃被侵蝕的速率問題可能不會起主導作用，但是，如果對這類化學反應(指表面反應——譯者注)有充分的認識，就很可能對玻璃被侵蝕的整個過程有一個更清晰的概念。

本文第 I 部分將提出一個方案，用以說明矽酸鹽玻璃的化學反應機理。這個方案是依據休斯及英戈等(Hughes, Ingold, et al.)^[3]從 1930 年以來用以解釋有機化合物的反應所提出的學說^(註 2)。近年來，他們又將研究工作擴展至矽有機化合物方面，使後者的反應機理也納入了這個學說的範圍內。

本文的第 II 及第 III 部分將發表實驗結果，並結合這個假定的反應機理進行討論。

侵蝕劑的分類

在本方案中，把侵蝕劑分為兩類：親電劑與親核劑。前者以玻璃結構中電子過剩的部分作為侵蝕對象；後者的侵蝕對象是結構中電子缺少的部分。各種侵蝕劑可以按照它們的化學活潑性進行分級。幾種重要侵蝕劑的實例如下^(註 3)：

O ²⁻	強親核劑
OH ⁻	強親核劑
F ⁻	中等親核劑
H ⁺ (或 H ₃ O ⁺)	強親電劑

酸類(H-X)，特別是強酸，例如 H-Cl, H-HSO₄ 等，都是典型的親電劑。象用氣態酸進行玻璃的表面處理以提高其化學穩定性，就是以它們的親電性能為依據的。酸類水溶液的親電性能，是與它們在電离時產生 H₃O⁺ 离子有關^(註 4)。

碱类(M-OH)都是典型的親核劑，它們在水溶液中電离產生 OH⁻ 离子。常用的碱有 NaOH, KOH, NH₄OH 等^(註 5)。

水是一個特殊例子。它是弱电解質，電離時產生微量 H₃O⁺ 與 OH⁻ 离子，因此能同時供給親電與親核兩種侵蝕劑。這一點是水對玻璃起侵蝕作用的主要因素。水是極性分子，具有弱親核劑的性質，因此，也可能對玻璃的侵蝕起一定的作用。

玻璃結構中侵蝕點的位置

一般認為，簡單矽酸鹽玻璃是由極性矽氧鍵的連續網絡及一些不連續部分(網絡間隙——譯者注)所構成的。在網絡不連續部分中出現帶有一個負電荷的單鍵氧(非橋氧——譯者注)。為了保持系統的電中性，帶正電荷的金屬離子(M⁺，例如 Na⁺, Ca²⁺ 等)就出現在這種不連續地位的附近(如圖 1 所示)。

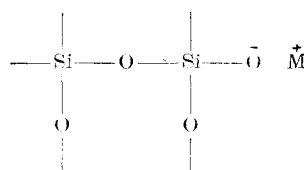


圖 1 玻璃網絡不連續性與金屬陽離子

金屬離子(M⁺)都帶有正電荷。它們在玻璃結

构中必然受到亲核剂侵蚀。但这种侵蚀对一价和二价阳离子来讲，可能性是很小的，因为这些离子都有极稳定的独立结构^(注6)。三价铝若以 Al^{3+} 离子形式存在于玻璃结构中，则有可能受到亲核侵蚀，结果形成较稳定的四价 Al^{4+} 离子^(注7)。

总之，可以不把金属离子当作玻璃结构中被侵蚀中心点之一。至于它们在侵蚀过程中被移入溶液的现象，可以假定，大都是属于电势效应下扩散作用的结果。

带有负电荷的非桥氧要受到亲电侵蚀。例如，单纯用酸(H^+ 或 H_3O^+)处理的玻璃，就会产生 $\text{Si}-\text{OH}$ 基团。当然，这是一个很普通的反应，只能认为它是属于带负荷硅酸根离子的水解反应。它与弱酸的酸根离子在氯离子存在下的水解反应是一样的。

在玻璃主体结构的网络部分，硅原子较易受到亲核侵蚀；桥氧原子则较易受到亲电侵蚀。这类侵蚀可以归因于硅氧键的电性不对称^(注8)。这种说法，可以从埃伦等(Allen et al)^[4]研究硅有机化合物反应机理的成果中得到证实^(注9)。

侵 蚀 的 机 理

本文所谈的侵蚀机理，是根据侵蚀剂的种类及网络被侵蚀地位的不同来设计的。下面所提出的几个机理方案，在图解中都用一个过渡态来阐明反应的过程。所谓过渡态，就是反应从始态(反应物)到达终态(生成物)的过程中，在能级图解上具有最高势能的中间产物的一种结构。在这些机理图解中，虚线表示键在断裂或生成过程瞬间的向性键；电荷的增量符号(δ)表示电子云在中性原子间迁移的倾向。

(1) 亲电剂对非桥氧的亲电侵蚀

图2是这种反应的侵蚀机理。在这个反应中，负电荷从非桥氧移向酸根(X)，因而迫使玻璃结构中的 M^+ 离子换位。结果，玻璃表面便形成一层硅酸结构($\equiv\text{Si}-\text{OH}$)，而 M^+ 则以水化离子形态移入溶液，或以晶格离子出现在 MX 晶体中。后一个事实，可以在用气态 HCl 处理热的钠钙硅玻璃时(此时玻璃表面出现了开花式的 NaCl 的粉末^(注10))看到。

在上述机理方案中，如果以水化氢离子(H_3O^+)作为玻璃的侵蚀剂，那末图解中的 $\text{H}-\text{X}$ 应改为 $\text{H}_3\text{O}^+-\text{X}^-$ 。此时，反应是在酸性溶液中进行的，其

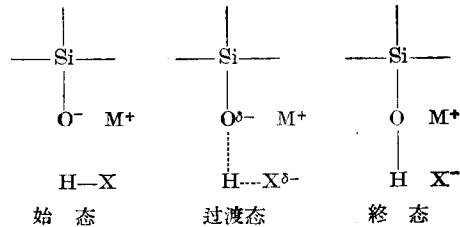


图2 亲电剂对非桥氧的亲电侵蚀

实质类似一般的水解反应或离子交换。

(2) 亲核剂对网络硅原子的亲核侵蚀

这种侵蚀类型可用下面三个例子说明：

(a) O^{2-} 离子的侵蚀反应：

图3是这种反应的机理。在这个反应过程中，氧离子(O^{2-})的负电荷移向玻璃，同时，金属离子(图中未标出——译者注)也进入玻璃结构以维持系统的电中性。结果，使硅氧桥($\text{Si}-\text{O}-\text{Si}$)断裂，网络发生解聚。这种说法，当然可以理解为网络变性剂(低价金属氧化物——译者注)在玻璃结构中所起的效应的一种解释；也可以说明金属氧化物溶解于玻璃后所造成的结果。

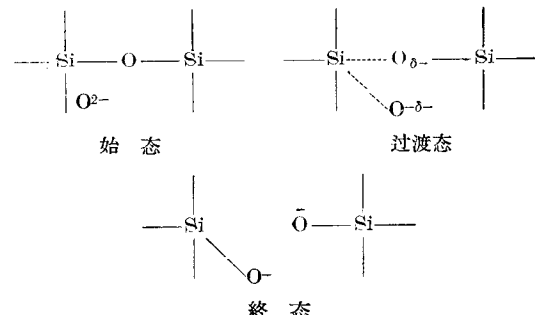


图3 氧离子对网络硅原子的亲核侵蚀

(b) OH^- 离子的侵蚀反应：

图4是这种反应的机理^(注11)。根据图解中所示的终态，网络断裂处出现了一个负电荷。这个负电荷可以通过两种途径被中和。其一，靠阳离子 M^+ (图中未标出——译者注)的扩散作用从溶液进入玻璃结构^(注12)。其二，可由水中的 H_3O^+ 离子对这个负电荷发生亲电反应，使系统达到电中性^(注13)。后一个反应意味着 OH^- 离子在溶液中的再生，因而说明 OH^- 离子在其对网络的侵蚀过程中起着催化作用。碱溶液侵蚀玻璃的速率要比水快得多，这是因为碱比水能供给更多的 OH^- 离子。

在有机化学方面，类似本类型反应的机理，已经研究得很清楚。许多有机反应，特别是针对饱和

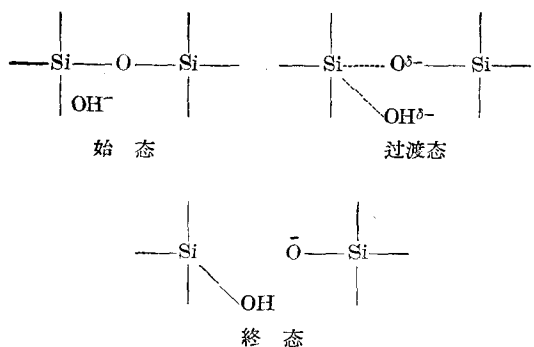


图4 氢氧离子对网络硅原子的亲核侵蝕

碳原子的侵蝕反应，都可以按图5所表示的机理方式进行。可以看出，图5所表示的与图4所设计的玻璃被侵蝕的模型是属于同一基本机理（即新键的生成与旧键的断裂是同时发生的），并具有相似的过渡态。

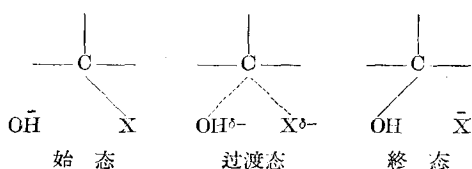


图5 氢氧离子对饱和碳原子的亲核侵蝕

(c) H_2O 分子的侵蝕反应：

水分子具有极性，其负电荷偏向氧原子，因而它对有机化合物的反应往往起弱亲核剂的作用。不过，它的亲核性远比氢氧离子小，因而只有在 OH^- 离子浓度很低的条件下（即低 pH），才可以观察到它的真正作用（注 14）。

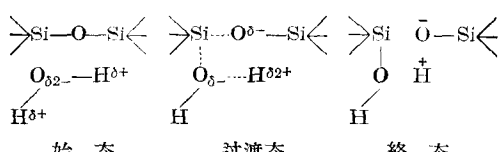


图6 水分子对网络硅原子的亲核侵蝕

水分子对硅酸盐玻璃的亲核反应，可以从高温高压下水蒸汽对玻璃的侵蝕作用中看到。图6是这个反应的机理（注 15）。图解中的终态，其中有一半用一个 $\equiv\text{Si}-\text{O}^-$ 离子和一个质子（ H^+ ）表示。这两种离子应很快地结合，因此，实际上终态包括两个 $\equiv\text{Si}-\text{OH}$ 基团。上述机理同柯其安（Kirkjian）与鲁塞尔（Russell）^[5] 及莫尔逊（Moulson）与罗伯特（Roberts）^[6] 所考察的结果是一致的（注 16）。

(3) 硅氧网络同时受亲核及亲电侵蝕

网络结构中的桥氧虽有可能受到亲电侵蝕，但实际上并不容易发生，因为侵蝕的结果必须导致 $\text{O}-\text{Si}$ 键的断裂，这一点氢离子的效能是不能胜任的。不过，假若硅原子同时受到亲核侵蝕，则桥氧就容易发生亲电侵蝕，并会因而反复加剧硅原子方面的亲核反应。显然，若要同时发生亲电及亲核的侵蝕，所用的试剂就必须同时含有强亲电剂及强亲核剂。按照常规，这种要求是十分矛盾的，这可以从 H^+ 与 OH^- 无法在水中同时大量存在的实际例子中看出。但是，氢氟酸却能满足这种特殊要求（注 17）。 F^- 离子是中等亲核剂，在 H^+ 离子存在下，它就会强烈地对网络同时发生亲电及亲核侵蝕（注 18）。图7表示这个反应的机理（注 19）。

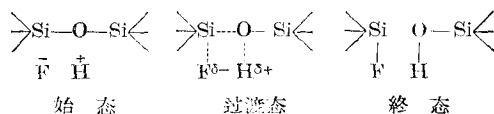


图7 氢氟酸对硅氧网络同时产生
亲核及亲电侵蝕

結論

- 本文对玻璃的化学侵蝕提出了两个主要类型：带负电中心的亲电侵蝕，及带正电中心的亲核侵蝕。
- 在硅酸盐玻璃方面，亲电侵蝕发生在带负电荷非桥氧的原子上。侵蝕这个位置的亲电剂，有 H^+ （或 H_3O^+ ）及气态的 HCl 与 H_2SO_4 等（注 20）。
- 在硅酸盐玻璃方面，亲核侵蝕发生在网络的硅原子上。 O^{2-} 及 OH^- 是两个主要亲核剂（注 21）。在侵蝕点上同时发生硅氧向性键的断裂与生成，是这些离子侵蝕的特征。
4. HF 等对玻璃的网络同时发生亲电及亲核侵蝕。两种侵蝕相互加强，因而产生十分剧烈的作用（注 22）。

参考文献

- [1] Douglas, R. W. & Isard, J. O. J. Soc. Glass Tech. 33, 289 (1949).
- [2] Schumacher & Schweite, Glastech. Ber. 33 (1), 1 (1960).
- [3] Ingold, C. K. J. Chem. Soc. 526 (1933); Hughes, E. D., Ingold, C. K. et al. J. Chem.

- Soc., 236, 244(1935); J. Chem. Soc., 225(1936); J. Chem. Soc., 1252 (1937); J. Chem. Soc., 925~979(1940); J. Chem. Soc., 173, 968(1946); J. Chem. Soc., 2918 (1954).
- [4] Allen, A. D. et. al. J. Chem. Soc. 3668 (1957).
- [5] Kurkjian, C. R. & Russell, L. E. J. Soc. Glass Tech. 42, 130 T. (1958).
- [6] Moulson, A. J. & Roberts, J. P. Trans. Brit. Ceram. Soc. 59 (9), 388 (1960).

譯者注解

[注 1] 道格拉斯 (R. W. Douglas) 等在 1961 年曾对他們过去所得出的結論提出疑問，认为利用鈉离子扩散速率來說明玻璃侵蝕速率是过份简单的一个假定；这个假定与新的實驗事实存在着很大的矛盾。他們指出，水对鈉(或鉀)鈣硅玻璃的侵蝕，可以分为两个机理阶段：在最初阶段， Na_2O (或 K_2O) 与 SiO_2 的侵出量都是与時間的平方根成正比；后一阶段， Na_2O (或 K_2O)、 SiO_2 及 CaO 的侵出量与時間成正比(參看 Phys. Chem. Glasses 2 (1961) 179~205 或《玻璃譯丛》第三輯《水对玻璃的侵蝕反应》)。

[注 2] 亲电取代与亲核取代的學說，最初是用于闡明位于飽和碳原子上取代反应的机理，以后发展到好多方面。这类反应普遍发生在极性分子化合物之間，类似离子化合物的复分解。不同之处在于：前者的反应从始态至終态都要通过一个过渡态。过渡态能否順利生成，首先取决于 C-X 键的极性，而 C-X 键的极性又取决于分子的结构、基团及功能团的影响，溶剂及溶质的效应等；其次，取决于亲电剂或亲核剂的性质与强度。用 \rightarrow 代表电子云的偏向，则亲电取代发生在 $\text{C} \leftarrow \text{X}$ 键，亲核取代发生在 $\text{C} \rightarrow \text{X}$ 键。亲电剂一般是阳离子，亲核剂是阴离子，但也包括許多极性分子化合物。作者指出，取代反应可能同时通过两种方式发生，即单分子反应(一级)及双分子反应(二级)。在双分子反应中，反应物(C-X)与侵蝕剂(W-Y)形成过渡态中間产物($\text{C} \begin{array}{c} \text{X} \\ \diagdown \\ \text{Y} \end{array} \text{W}$)，其特点是会使旧键

(C-X)的断裂与新键(C-Y)的生成同时发生。因此，反应速率較快，并随侵蝕剂濃度的提高而加速。他們还研究了分子结构的空間阻碍对这两类取代反应的重大影响[參看 J. Chem. Soc., 173, 968 (1946)]。

[注 3] 有机化学方面：亲电剂代表能提供带正电荷

基团的化合物(例如 HNO_3 在硝化反应时的 NO_2^+ ， $\text{Br}_2 + \text{FeBr}_3$ 在溴化反应时的 Br^+ ， HCl 在加成反应时的 H^+ 等)；亲核剂則代表能提供帶負电荷的基团的化合物(例如 KCN 的 CN^- ， NaOCH_3 的 CH_3O^- ，水解及氨解反应中的 OH^- 及 NH_2^- 等)。

无机化学方面：所有阳离子都是不同程度的亲电剂；所有阴离子都是不同程度的亲核剂。阳离子的价愈高及半徑愈小，亲电能力愈大。非惰性气体型比惰性气体型的阳离子有較高的亲电能力，因为前者在結構上处于电子不完全状态。因此， H^+ 、 Al^{3+} 、 Fe^{3+} 、 Zr^{4+} 等都是强亲电剂；而 Na^+ 、 K^+ 、 Ba^{2+} 等則都是弱亲电剂。阴离子的亲核能力取决于它們所形成的酸的强度。强酸的阴离子(Cl^- ， NO_3^- ， SO_4^{2-})都是弱亲核剂，而弱酸的阴离子(PO_4^{3-} ， CO_3^{2-} ，有机酸根离子)都是强亲核剂。磷酸盐、檸檬酸盐及酒石酸盐等对玻璃有侵蝕作用，其原因之一就在于此。

极性分子是不同程度的亲电剂或亲核剂。酸性的(SO_2 ， H_2S ， HCl)属于亲电剂，碱性的(NH_3 ， H_2O ，胺类，絡合剂)属于亲核剂。气体对玻璃的侵蝕都属于这一类。

[注 4] 此句为譯者添加。强酸弱碱的盐类(ZnCl_2 ， FeCl_3 ， $\text{Al}_2(\text{SO}_4)_3$)也是亲电剂。这与它們的阳离子的亲电性能及水解产生 H_3O^+ 离子有关($\text{pH} < 4$)。

[注 5] 本段为譯者添加。弱酸强碱的盐类(Na_2CO_3 ， Na_2S ， Na_3PO_4)也是亲核剂。这与它們的阴离子的亲核性能及水解产生 OH^- 离子有关($\text{pH} > 10$)。

[注 6] 惰性气体的结构，例如 Na^+ ， Ca^{2+} 等。

[注 7] 四价 Al^- 离子是指相当于 $[\text{Al}(\text{OH})_4]^-$ 絡离子。它可溶于碱性溶液，但不受碱的侵蝕。在低鋁玻璃中， Al^{3+} 离子应以四配位存在于网络結構中，可用 $[(=\text{Si}-\text{O})_4\text{Al}]^-$ 代表。它的四配位是由四个电价完成的，因而也具有 Al^- 絡离子的形式。此时， Al^- 离子带有负电荷，又处于网络結構中，故不受 OH^- 离子的亲核侵蝕，也不被溶解。含鋁較高的玻璃，可能有一部分 Al^{3+} 离子是处于网穴結構中(六配位，其中三个是电价，三个是配价)。此时， Al^{3+} 离子具有正电性，可被碱侵蝕并被移入溶液中。含鋁玻璃有較好的抗碱性，这与鋁以 Al^- 絡离子形态处于网络中有关(“阻塞作用”)。

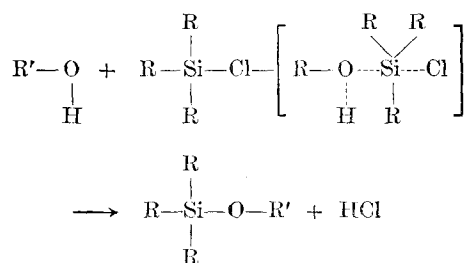
[注 8] 网絡中， $\text{Si}-\text{O}$ 键的电性虽不对称(极性)，但由于桥氧組成的 SiO_4 四面体的电性及結構却非常对称，且網絡是連續的，故純 SiO_2 玻璃就表現出

高度化学稳定性。网穴中，出現了 SiO_4^- 四面体，其結構与电性都不对称。非桥氧的电子云被四面体中心 Si^{4+} 离子所极化($\text{Si} \leftarrow \text{O}^-$)，因而排斥(或誘导)其余三个硅氧键的电子云偏向桥氧原子($\text{O} \leftarrow \text{Si}$)，并使它们的键的极性显著提高。 SiO_4^-

四面体的电性结构，可以  代表。由

此，譯者认为亲核侵蝕应发生在 SiO_4^- 的硅原子上面。同样的，假如亲电侵蝕以桥氧为对象的話，也应发生在連結这个硅原子的桥氧上面。此外， SiO_4^- 是处于沒有“空間阻碍”的位置，因此被侵蝕的可能性也比 SiO_4 大。

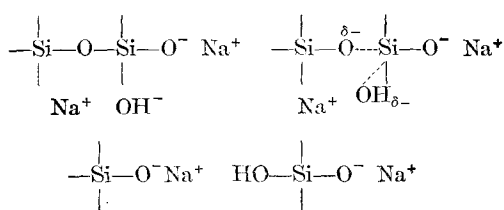
[注 9] 埃倫等研究一氯三异丙基硅烷的醇解时采用下式表达这个反应的机理：



他們发现，这个反应进行得非常慢，但当 R 为甲基或乙基时，反应速率就要提高到几千倍。这說明基对硅氧键极性的影响，也說明空間阻碍对反应速率的巨大影响。

[注 10] 含有工业气体 (CO_2 , SO_2 , H_2S) 的潮湿空气会使玻璃表面出現 Na_2CO_3 或 Na_2SO_3 白色粉末。前者带碱性，会加剧玻璃表面的侵蝕；后者是还原剂，会使鉛玻璃表面产生暗影或鉛膜。这是长期儲存于潮湿仓库的玻璃制品“发霉”的原因。

[注 11] 根据注 8 的論点，譯者认为图 4 的反应过程应优先从网穴开始，因此，改用下面的机理图解表示更为妥当：



在碱性溶液($\text{pH} > 11$)中，硅酸结构中的 $\text{Si}-\text{OH}$ 应被中和，因此，侵蝕的結果，硅應該是以简单硅酸根离子(SiO_4^-)連同 Na^+ 离子被移入溶液之中。

碱对玻璃的侵蝕是从网穴开始的，然后循序逐步向网络深入。

显然，在这种侵蝕中，每移出一个 SiO_4^- 离子要消耗六个 OH^- 离子，因此，碱液的 pH 便不断降低，侵蝕速率也随之变慢。更换碱液可使侵蝕速率达到恒值。[参看 E. Berger 試驗的結果，J. Soc. Glass Tech. (1936) 20, 257 T.]

[注 12] 指碱液浓度較高的情况($\text{pH} > 10 \sim 11$)。

[注 13] 指碱液浓度較低的情况($\text{pH} < 8 \sim 10$)。

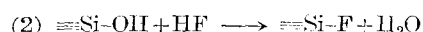
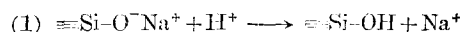
[注 14] 例如用酸侵蝕玻璃，同样可以觀察到 SiO_2 被移入溶液。

[注 15] 这个反应同样应从网穴优先开始。参看注 8 及注 11 的图解。

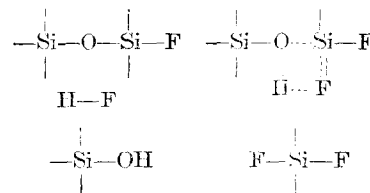
[注 16] 参看本期文摘：《石英玻璃中的水份》。

[注 17] HF 的电离度($\approx 10^{-2}$)比水($\approx 10^{-7}$)大得多，因此，它能同时供給較多的亲电剂(H^+)与亲核剂(F^-)。在高压高温下，水的电离度可以提高几十倍，因此它的作用近似 HF 。同一情况下，液态氨对玻璃的侵蝕是严重的，脲素及銨与胺的盐类也不例外。磷酸、偏磷酸、焦磷酸及其酸式盐也可以归入本类。鉻酸及其盐类对玻璃的侵蝕是特殊的，硅与鉻酸形成黄色络合物进入溶液。

[注 18] 在碱性溶液中， F^- 离子对玻璃的侵蝕是不突出的。氟化物对玻璃的侵蝕順序如下： $\text{NaOH} + \text{NaF} < \text{NaF} < \text{NH}_4\text{F} < \text{NH}_4\text{HF}_2 < \text{HF} < \text{HF} + \text{H}_2\text{SO}_4$ 。从下面的(1)与(2)反应方程式中可以看出，反应能够順利地在酸性溶液中发生：



[注 19] 按图 7 的机理，若反应从网穴开始，用下面的图解表示更符合事实：



HF 对硅酸盐玻璃(具有网穴结构)的侵蝕比石英玻璃(网络结构为主)快得多。高鉛及高銨玻璃更突出。若认为亲电及亲核反应都是优先从网穴位置开始的，则上述事实很容易得到解釋。 HF 对含硼或鋁等玻璃的侵蝕較慢，因为这些高价离子往往會減低网穴的活动性。

根据 HF 对玻璃网络及网穴位置侵蝕速率应

有显著不同的假定，譯者曾建議將分划刻度用的玻璃板(鉛鋸玻璃为主)預先經酸處理及熱處理，使表面形成牢固的 SiO_2 薄膜，然後涂上石蠟並用矽石刻劃，最後用 HF 侵蝕。如此所得的分划線條，可使線槽深入玻璃，以利于着色，而表面線紋仍能保持原有細致與平整的优点。本法已用于光學儀器分划板生產工藝之中，并收到显著的效果。

[注 20] 參看注 3~4。

[注 21] 參看注 3 及 5。

[譯者附言] 利用亲电-亲核取代學說闡明玻璃被侵蝕的机理，不但在理論上是簡明易懂，而且在实用上也非常方便。只要根据化學知識將試劑分类，便可以推測它們對玻璃侵蝕的可能性。不过，玻璃的品

种是多种多样的，化學穩定性的差別也很大，單純地用一種理論解釋一种复杂物质的侵蝕行为，往往會显得不够全面。因此，譯者在注解中引入鍵的极性、离子的配位、极化及絡合，基的效应、空間阻碍、誘導及阻塞作用等概念，以便在这个學說的基础之上作深入的研究。此外，譯者认为，所有亲电及亲核侵蝕都是优先从网穴位置开始的，因此，要提高玻璃的稳定性，必須設法減低网穴的活动性。

謝鴻璣譯 袁怡松校

《Physics and Chemistry of Glasses》

Vol. 2, No. 4, p. 111~114 (1961)

(上接第 5 頁)

因而，在很小的顆粒上析晶时，就更加迫切需要晶座顆粒的結構与所形成的晶体結構間的相似性。當結構相似性增加时，就产生晶核在晶座上的二級定向。在这种情况下，新晶相的形成始自二維晶核的形成。由于晶格的差异，它的形成功能接近于变形能 E_α 。當二級定向时，其析晶条件如下：

$$\Delta a_{\text{最大}} \approx \sqrt{\frac{2a\sigma_{12}}{c_{11} + c_{12}}} \quad (5)$$

式中， $\Delta a_{\text{最大}}$ ——共軛相晶格常數可以允許的最大差值；

a ——具有立方晶系的形成相的晶格常數；

c_{11} 与 c_{12} ——形成晶体面的彈性模量，晶体从該晶面附析在晶座上。

这个公式后来會被修正，构成了两个同晶物质晶格間允許的實驗差值(10~15%) 的理論證明。

公式(5)是在二級定向的假設下导出的：當晶格常數差 $\Delta a > \Delta a_{\text{最大}}$ ，变形能 $E_\alpha > A_\kappa$ 时，一級定向不会實現，因而在均相中析晶就比較有利。以上所述仅在 r 与 r_κ 数值較接近时才正确。較大的 E_α 值会阻碍降低三維晶核的形成功能。这种假設可用关于在水楊酸苯脂中微小加入物的活化与反活化的實驗数据加以証实。

當 $r \gg r_\kappa$, $E_\alpha \approx 0$ 时，根据(4)式，甚至在一級定向时， $A'_\kappa < A_\kappa$ 。此外，液体質點的热力学位与位移速度，在接近附加物时要比在其他地方高一些，从而

导致了(2)式中活化能 U 的下降。下降值可用下式表示：

$$\Delta U = -k_1 e^{-\frac{k_2 \Delta r}{r}} \quad (6)$$

式中， Δr ——至具有半徑 r 的附加物的距离；

k_1 与 k_2 ——常数。

由此可見，附加物的半徑愈大， I 值也愈大。當缺乏結晶學相似性时，临界晶核的形成功能比结构类似时为大，而活化能的降低对結晶中心形成速度的影响就變得特別重要。

因而，当存在結晶學相似性时，在 r 接近 r_κ 的条件下(甚至在 $r < r_\kappa$ 的情况下)，晶座顆粒会强烈地降低新生晶体的晶核形成功能。当不存在結晶學相似性时，晶座对析晶的显著影响仅在 $r \gg r_\kappa$ ($E_\alpha \approx 0$, ΔU 的絕對值甚大)时才能表現出来。看来，在玻璃中的金属晶体尺寸具有同生长在它們上面的硅酸盐相似的数量級(約 100 埃)，因此，只有在晶格常數差不大于 10~15% 时才会产生誘導影响。在含鈦玻璃中，仅在晶座顆粒(譬如粒滴)的大小超过硅酸盐临界尺寸大致为一个数量級时才会开始析晶；在这种情况下，結晶學相似性已不起实质性的作用。

根据以上所述可知，在附加物上析晶的理論能够定性地解釋在不同玻璃中玻璃-結晶結構形成的初級阶段的若干規律。

程继健譯 黃熙怀校

《Стекло и Керамика》 Vol. 20, No. 12,

p. 1~9 (1963)

气 体 对 玻 璃 的 反 应

土 桥 正 二

各种气体对玻璃表面不仅有吸附現象，而且也有化学反应的作用。玻璃經长期风吹雨打，在表面上往往会产生虹彩般的顏色，有时也会产生雾状不透明的現象。产生这种現象的原因，主要是由于空气中的水分与玻璃的組成物质相互反应，因而在玻璃表面上生成了含水的硅酸；或由于在水的作用下，游离的碱与空气中的二氧化碳相化合，从而在玻璃表面上形成了碳酸盐所引起的。

根据皮德耳(Peddle)的試驗結果，鉛玻璃最易与 H_2S 起作用；但它与二氧化碳、二氧化硫以及其他酸性气体的作用并不十分显著。然而，鋇玻璃与酸性气体(如氯化氫，二氧化硫)的作用最为激烈；而硫化氫对鋇玻璃却几乎不起作用。

气体对玻璃的作用，一般是在比較高的温度下进行的。根据上田清的試驗，将普通平板玻璃放在不同气体中，在 $600^{\circ}C$ 下加热 30 分钟，然后将試片放入 $60^{\circ}C$ 的飽和水蒸汽中，比較其由于表面风化而生成云雾所需要的时间，其結果如表 1 所示。由表 1 可見，在酸性气体中加热处理后，玻璃的耐水性

有很明显的提高。

凱普勒(Keppeler)亦认为，使 CO_2 、 SO_2 等与玻璃表面作用，可以提高玻璃表面的耐久性。此外，也有使玻璃瓶在这类气体中进行徐冷以提高其耐久性的专利。

据中西健治的报告，将玻璃放在真空中或各种气体中进行加热处理时，耐水性将增大，并会发生下列現象：

①根据处理温度与時間的不同，吸附在玻璃表面或包含在内部的部分气体，会不同程度地被釋放出来。②酸性气体与玻璃表面的碱或其他組份互相作用，会在表面上生成一种化合物，因而形成比較稳定的物质。将玻璃放在气体中加热，可使它的耐水性稍有減弱。含有多量气体的水，可使玻璃中的碱溶解出来。因此，加热所以能使玻璃的耐水性提高，其原因之一，就是由于从玻璃表面或表层放出氧气的缘故。玻璃在酸性气体中加热时，其耐水性之所以提高，固然是由于从玻璃內放出了氧气，但更主要的原因，则是由于这种气体与玻璃本身起了化学作用，从而在表层上形成了一种耐水性較强的物质所致。

据柯华德和特訥(Coward & Turner)将鈉鈣玻璃在 $600^{\circ}C$ 左右与 SO_2 相作用，生成了用肉眼能看出的雾状物。經用显微鏡对此薄膜觀察，确定这种雾状物为 $NaSO_4$ 。

馬威德(Marwedel)等将底板玻璃在 $500\sim 600^{\circ}C$ 下与 SO_2+O_2 接触数分钟，結果发现，这种侵蝕程度比与冷水接触时大 16 倍左右。

鴨川浩将鋇、鉛系光学玻璃(SK-4, BaLF-4, SF-2, SF-5)与 SO_2 相作用，并将玻璃表面的变化用电子衍射法进行了研究。将上述四种玻璃裝入玻璃干燥器上部(下部盛有焦亚硫酸氢鈉溶液)，使其暴露在常温的 SO_2 和水的飽和混合蒸汽中。48 小时后，SK-4 玻璃表面上呈现干涉色，其他玻璃无变化。两个月后，SK-4 玻璃完全变白，失去原来的形状，BaLF-4 玻璃表面呈现干涉色，SF-2 及 SF-5

表 1

气体种类	生成雾状的日数 (昼夜)	风化状态
原試样玻璃	1	显 著
二氧化硫	35	无 雾 状
二氧化碳	22	—
硫 化 氢	21	无 雾 状
空 气	3	—
水 蒸 汽	3	—
煤 气	4	—
热 废 气	4	—
氯 气	21	无 雾 状
氯 化 氢	21	无 雾 状
氧化硒蒸气	10	—
溴 蒸 汽	23	无 雾 状
氧 化 氮	25	无 雾 状
硝 酸 蒸 汽	35	无 雾 状
硫 酸 蒸 汽	21	无 雾 状

的表面光線反射率下降而變黑。用450倍顯微鏡觀察，發現有灰色乃至黑色的斑點存在。用電子衍射法對暴露48小時的SK-4玻璃與經過3個月暴露的其他三種玻璃進行觀察，並與X射線衍射結果作比較，可以看出，鋇玻璃(SK-4, BaLF-4)表面上生成了 BaSO_4 ；燧石玻璃(SF-2, SF-5)表面上則生成了 PbS 與 PbSO_4 。

鴨川浩進一步對不含重金屬的白色板玻璃及含多量鋇的SK-5玻璃與鹽酸蒸汽的作用進行了研究。將上述兩種玻璃裝入玻璃干燥器上部(下部盛有20.2%的鹽酸)，並將容器密封，使其於常溫下在氯化氫及水蒸氣混合物中暴露8昼夜，白色板玻璃的表面變化用肉眼很難辨別出來，用450倍的顯微鏡觀察時，可以發現有非常細小的點狀物質存在。SK-玻璃表面上全部生成白衍射色結晶層，並以鱗片狀剝離。如上所述，用電子衍射法來觀察與鹽酸氣體相作用的玻璃表面，並與X射線衍射結果作比較，則可發現白色板玻璃表面上有 NaCl 生成，而SK-5玻璃表面上有 $\text{BaCl}_2 \cdot 2\text{H}_2\text{O}$ 生成。

此外，鴨川浩還用電子衍射法研究了六種光学玻璃(BK-7, 白色板玻璃, BaK-4, SK-4, BaLF-4, SF-2)在空氣中放置1個半月後的變化情況，結果判定：BK-7、白色板玻璃兩種無變化；BaK-4玻璃表面生成了以 Na_2CO_3 為主的成分，其中含有微量 K_2CO_3 的薄膜，其厚度為數十埃至數百埃，SK-4玻璃表面上生成了大致等量的 BaCO_3 與 NaCO_3 ；BaLF-4玻璃表面生成了一種以 NaCO_3 為主成分的複蓋層，其中有少量含水碳酸鉀的薄層；SF-2玻璃則複蓋一層 K_2CO_3 與 Na_2CO_3 的薄膜(其中 K_2CO_3 量可能稍多些)。上述各種現象的產生都是玻璃中容易移動的碱金屬離子與空氣中水分及二氧化碳相作用，而在玻璃表面上生成碱金屬碳酸鹽或含水碳酸鹽的結果。

長枝春平曾將八種不耐酸的含鋇光学玻璃的表面研磨後，在 300°C 下通以 SO_2 及 CO_2 氣體，研究了玻璃表面與氣體的相互作用。為了比較其作用程度，將玻璃浸入 35°C 的0.1N-HCl溶液中，使其表面上生成的薄膜漸漸變厚，測定達到一定干涉色(暗紫色)時所需時間，來判斷其耐酸性的變化。

根據研究的結果得出如下結論：

① 玻璃經氣體處理後，耐酸性增大，其增大的程度，依玻璃的組成不同而異。有兩三種玻璃，在 300°C 下與 SO_2 作用4小時後，其耐酸性可增大幾倍至十幾倍。

② 氣體中混有水蒸氣時的作用機理，與單純氣體的情況是不同的，前一種場合在浸漬前即已形成含水矽酸薄膜或呈現干涉色。

③ 氣體對玻璃磨面的作用，並不是很均勻的，不同的地方則有強弱不同的作用。

④ 若玻璃表面受 SO_2 的作用，則生成 BaSO_4 ；若受 CO_2 的作用，則生成 BaCO_3 。這可能是氣體的作用提高了玻璃表面的耐酸性的緣故。

綜上所述，可以肯定， SO_2 氣體與玻璃之間是有反應的。至於決定反應速度的過程，茲就道格拉斯(Douglas)的見解略述如下：

將組成%為 SiO_2 69.6, NaO 16.8, K_2O 0.4, CaO 5.4, MgO 3.6, B_2O_3 0.78, Al_2O_3 2.6, SO_3 0.10的玻璃與含有水分的 SO_2 相互作用，將其浸入水中，然後測定浸出的鹼溶液的電導率。測定的結果：①在 $20\sim 100^\circ\text{C}$ 下被水蒸氣飽和的 SO_2 的作用，是使玻璃中的 Na^+ 與 H^+ 進行交換反應，反應速度決定於 Na^+ 從玻璃內部向表面擴散的速度。②在 $100\sim 600^\circ\text{C}$ 時，由於脫水作用，玻璃表面生成了硬膜，反應速度亦決定於 Na^+ 通過硬膜向表面擴散的速度。③無水 SO_2 的侵蝕作用的反應速度，決定於玻璃中的 O^{2-} 向表面擴散的速度。關於這一點，可能還有不同的看法。羅伯特和比特訥(Roberts & Bittnar)發現，在派萊克斯玻璃管中裝入氫氣(初壓為700毫米汞柱，當溫度高達 $500\sim 580^\circ\text{C}$ 時，氫的壓力便迅速下降)。

這時，約有10%的氫變成了水。威廉姆遜(Williamson)認為，其餘的氫氣的減量大大超過了吸附或擴散的損失，因此，可以斷定是氫與玻璃之間發生了反應。於是，玻璃帶有明顯的黑色；這種作用一直深入到玻璃內部。這是由於氫使玻璃的組份還原而生成 $\text{Si}, \text{As}, \text{Fe}$ 等所致。

下面再簡述玻璃暴露在火焰中所產生的現象，即在高溫下，具有一定壓力的氣體對玻璃的作用。

托馬斯(Thomas)曾就用氣體火焰加熱玻璃時所引起的一種缺陷(表面皺紋，暈色及氣泡)的實驗結果，發表了詳細的報告。

由加熱而生成皺紋及白色暈環的時間，因玻璃試樣的大小及其他化學組成不同而異。試樣愈粗，溫度愈低，則生成上述現象所需時間愈長。這種現象與化學組成的關係是：含碱愈多，或含 Al_2O_3 愈少，也就是說，愈是軟質玻璃，其所需時間就愈長。上述現象生成的原因是由於表面薄層中的碱揮發了，其膨脹系數變得較內部為小所致。暈環的發生

时间与化学组成的关系，则与皱纹的情况完全相反。

转变温度较高的玻璃会产生气泡。产生气泡的原因，就含硼玻璃来说，是由于挥发大量硼酸所致。但是从 $\text{CaO}-\text{Al}_2\text{O}_3-\text{SiO}_2-\text{BaO}$ 系玻璃的试验结果来看，硼酸的挥发并不是唯一的原因。关于这种现象，还没有确切的解释，很可能是由于高温下气体中的氢侵入了玻璃的表层，并在高温下又重新挥发出来所致；也可能是在低温的条件下所生成的氢化物，在高温（ 1000°C 以上）下又进行分解所致。

扎克 (Zschacke) 曾用玻璃管进行多次试验，研究了用喷灯进行加工时的加工性能与化学组成的关系。

盖耳霍夫 (Gehlhoff) 发现，将长期贮存的玻璃用

喷灯加工时，常常发生表面粗糙的现象。他认为，这种现象并不是由于失透现象所造成，而是由于空气中的水蒸汽使玻璃表面的碱慢慢游离出来，因而当被冷却时，表面的膨胀系数减小，从而生成皱纹所致。

气体对玻璃失透的影响，当然也应当考虑。但是根据斯威夫特 (Swift) 的说法，将新割开的玻璃表面放在无尘埃的空气中，在 800°C 下经 10 小时的加热，也只能产生轻微的失透现象；但是在未经过滤的空气中进行热处理时，就会产生严重的失透现象。

魏世魁 譯

《ガラスの表面化学》 p. 82~88

(上接第 63 頁)

鎔质耐火材料的性质

性 质 及 生 产 方 法	耐 火 材 料 牌 号				
	A	B	C	D	E
显气孔率(%)	24~26	18~20	17~19	8~10	1
容重(克/厘米 ³)	3.37	3.6	3.6	3.84	4.16
抗弯极限强度(公斤/厘米 ²)	100	160	200	900	980
透气率(有效单位)	13.7	12.8	9.5	1.25	1
热稳定性	良好	一般	良好	差	差
结构	粗颗粒	细颗粒	粗细颗粒混合	致密	极致密
生产方法	干压	干压	泥浆浇注	高压下干压	高压下干压

文章继而谈到了耐火材料的组成及所用原料。这种耐火材料的平均化学组成(重量%)为： $\text{ZrO}_2 + \text{HfO}_2$ 65(其中 HfO_2 1~2), SiO_2 34, 其他矿物杂质~1。原料用美国的锆英石砂。结合剂不能用耐火粘土，因为烧成后砖坯内会出现大量有害的玻璃相，很快就被玻璃液所侵蚀。

最后，文章扼要地叙述了耐火材料的使用场合。这种耐火材料适用于熔制硼硅酸盐玻璃、蛋白玻璃、平板玻璃及瓶罐玻璃的玻璃池窑上。锆质耐火材料中所含的 ZrSiO_4 极难与硼硅酸盐玻璃和蛋白玻璃起反应，而极易与钠-钙玻璃作用。此时，在砖表面形成一层极粘的浅色熔融物，内含大量 ZrO_2 (~48%) 和 SiO_2 (~44%) 以及 Na_2O 、 CaO 与 Al_2O_3 (在玻璃

作用下， ZrSiO_4 分解再结晶成 ZrO_2)。

牌号 A 砌在池底，也可以代替硅砖和莫来石砖砌在胸墙和上部池墙上。在重要的池底和胸墙部分，需用牌号 B 来砌筑。牌号 C 系浇注成型，故可制成特异形砖(如热电偶孔砖、供料器用砖等)。牌号 D 砌在胸墙上(熔制硼硅酸盐玻璃和玻璃纤维时)或砌在侵蚀特别严重的池底(如投料池底)和熔化部池墙上。牌号 E 的气孔率极低，可与玻璃液直接接触，在熔制技术硼硅酸盐玻璃和光学玻璃的池窑内砌于池墙上。

(孙承绪摘自
《Силикатные Материалы》 1963, № 6, 8)